ISSN: 2053-3578

I.F. 12.34

# РАСЧЕТ КОНСТРУКЦИЙ НА ДЕЙСТВИЕ СЕЙСМИЧЕСКИХ СИЛ И ОЦЕНКА ИХ СЕЙСМОСТОЙКОСТИ

# **Хамрабаева Нилуфархан Азизовна Доцент**

### Ташкетский архитектуно- строительный институт

**Аннотация:** В статье изложена методика расчета сейсмоизоляции здания на жесткой подвеске. Использован прямой численный метод с дискретно-шаговой реализацией в электронных таблицах Excel.

**Ключевые слова**: Сейсмоизоляция здания, жесткая подвеска, Excel.

Сложившиеся к настоящему времени принципы проектирования сейсмостойких зданий предполагают обеспечить прочность несущих конструкций зданий при действии инерционных сил, обусловленных смещением основания. Расчетная схема здания представляется в виде вертикального стержня с сосредоточенными массами на уровнях этажей. Главным возмущающим фактором считается горизонтальное смещение основания в месте заделки стержня. Расчетом определяют усилия и перемещения в конструкциях в зависимости от формы и частоты собственных колебаний в расчетной схеме. При этом остается неясным, как получить максимальные усилие и перемещения в сечениях, поскольку возмущение от каждой формы колебаний приходит в каждую точку конструкции в разное время. Таким образом, расчет с определением форм и частот в значительной мере теряет смысл [1,2].

В последние годы в сейсмостойком строительстве получили развитие конструктивные меры, направленные на уменьшение связи с основанием [3] здания с гибкими нижним этажом, здания на песчаной и «скользкой» подушке, здания с подвесными этажами. Идея сейсмоизоляции заложена также в предложениях автора [4,5]. Здание располагается на плите, подвешенной на жестких стальных тягах к опорам, передающим вес здания на грунт основания через внешний фундамент (рис.1).

В предложении [5] тяги снаб- жены гайками, позволяющими регулировать давление под плитой внутреннего фундамента с контролем мессдозой.



ISSN: 2053-3578

I.F. 12.34

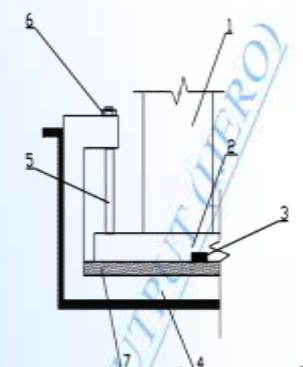


Рис.1 Фундамент сейсмостойкого здания. 1- здание; 2илита; 3- датчик давления (мессдоза); 4-внешний фундамент; 5- тяги жесткой подвески; 6- гайки регулировки давления; 7- песчаный слой

Максимальная горизонтальная сила, действующая на здание, не превысит силу трения по подошве внутреннего фундамента

$$P_t = kmg$$
, (1) где  $k$ -

коэффициент, учитывающий трение плиты по песчаному слою и снижение веса здания за счет передачи его на внешний фундамент регулировкой гаек на штангах подвески. При полной подвеске зданий  $\mathbf{k}=0$ .

При k=0 здание получает колебания по маятниковой схеме для системы с одной степенью свободы, поскольку при подвеске все части здания получают одинаковые параметры движения. Для исключения возможного резонанса силу трения  $P_t$  целесообразно сохранить (k>0) при регулировке давления, но свести к минимуму, обеспеченному прочностью здания.

На рис. 2 приведена схема сил, действующих на здание при горизонтальных смещениях фундамента. Силой, вызывающей движение массы m является тангенциальная составляющая проекции веса здания

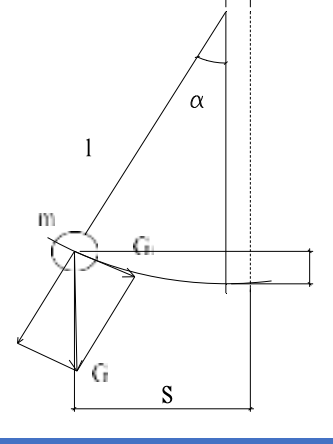
 $G_{t=}$ mgsin $\alpha$ .

С учетом вынужденного смещения основания s<sub>0</sub>

$$S - S$$

$$\sin \alpha = \frac{0}{1}$$

1



ISSN: 2053-3578 I.F. 12.34

где s - отклонение массы m от положения равновесия.

При неподвижном основании здание поднимается на высоту  $\Delta h$ , что и становится движущей силой маятника. Если сила трения  $P_{\tau p}$  меньше тангенциальной составляющей  $G_t$ . то масса здания m получает движение по ма- ятниковой схеме. Уравнение движения массы в данном случае имеет, вид:

 $G_{t} = m \dot{s} - P_{t} = 0$ , при этом сила сухого трения  $P_{t}$  всегда направлена против смещения массы относительно основания.

Из уравнения движения (4) находим ускорение 's', скорость s', и смещение s массы здания. При k=0 ( $P_{TP}=0$ ) уравнение получает вид:

$$g^{S_0 - S} - s' = 0.$$
 (5)

Радиальная составляющая  $G_r$  является центростремительной силой при движении массы вокруг точки подвеса:

$$(s')^2$$

Решение уравнения для гармонических колебаний имеет вид

$$s = s'(t = 0) \sin \omega t \ s(t = 0) \cos \omega t$$

где  $\omega$  - круговая частота колебаний маятника. Частота колебаний в герцах

$$f \neq \omega (2\pi)$$
.

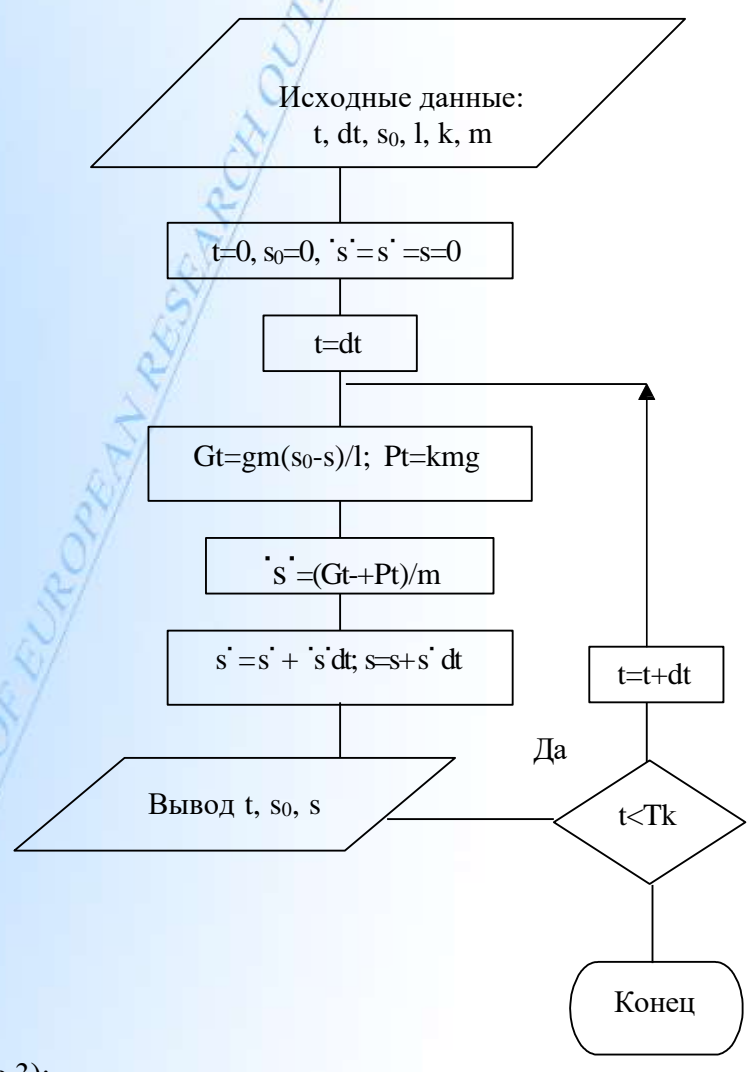
При наличии сухого трения в системе (k>0) частота и период собственных колебаний не меняются, амплитуды колебаний уменьшаются во времени по линейному закону.

Решение уравнения для общего случая получить не представляется возможным, так как сейсмограмма вынужденных колебаний оснований  $s_0(t)$  имеет стохастический характер. Она представляет собой последовательность импульсов смещения основания различной величины и продолжительности, где трудно выявить частоту колебаний. Но если есть сейсмограмма, типовая для заданного сейсмического района, то решение задачи можно получить прямым численным методом с дискретно-шаговой реализацией во времени. Метод на зывается прямым потому, что параметры движения получаются непосредственно из уравнения движения для отдельных, достаточно малых промежутков времени dt. В работе [3] показано, что точность и устойчивость счета будет достаточной при величине dt <= T/6, то есть промежуток времени dt должен быть не более 1/6 от периода собственных или вынужденных колебаний системы.

ISSN: 2053-3578 I.F. 12.34

Для проектирования сейсмостойкого здания на жесткой подвеске необходимо иметь типовую сейсмограмму для участка строительства, определить вес или массу здания, назначить длину тяги подвески и определить зазор между плитой и стенками внешнего фундамента, обеспечивающий безударное колебание плиты  $\max (s_0 - s)$ .

Ниже приведен алгоритм пошагового расчета для определения указанных



параметров (рис.3):

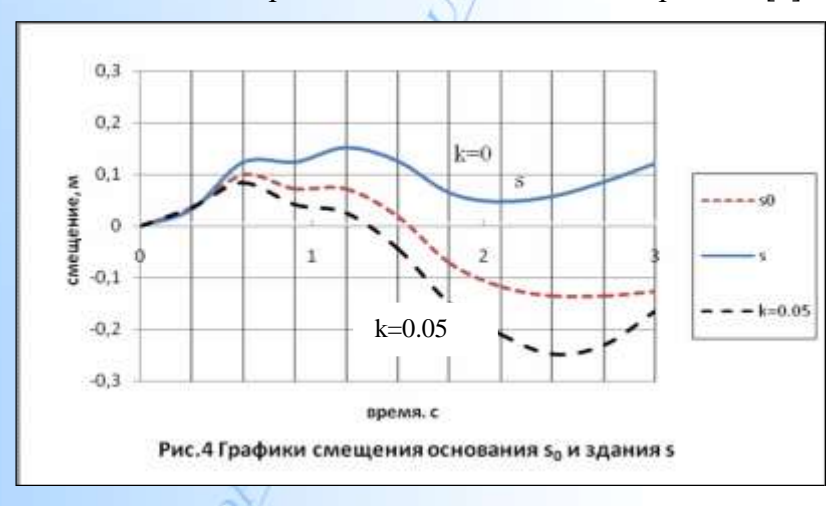
Рис.3. Алгоритм пошагового расчета параметров движения здания в маятниковой схеме

Расчеты по приведенному алгоритму удобно производить, используя программу Excel. Для расчета достаточно ввести исходные данные и заполнить одну строку с формулами. Далее расчет выполняется автоматически для всего заданного промежутка времени t. График строится с применением мастера диаграмм.

ISSN: 2053-3578 I.F. 12.34

Для проверки работоспособности алгоритма в электронной таблице был построен график свободных колебаний массы с длиной штанги 1 = 1м, T = 2 сек, dt = 0.3 сек, k = 0. Импульс смещения основания  $s_0 = 0.1$  м длительностью 0.3 сек. График имеет вид синусоиды с амплитудой 0.1 м и периодом колебаний 2 сек.

На рис. 4 приведены графики движения массы для сейсмограммы  $s_0$  (t), построенной по данным для горизонтальных колебаний из работы [2].



#### Выводы:

- 1. Повышение сейсмостойкости зданий и сооружений можно обеспечить как усилением конструкции, так и применением мер сейсмоизоляции.
- 2. В качестве варианта сейсмоизоляции предложено решение с подвеской здания на жестких тягах с регулировкой давления на основание, обеспечивающее снижение горизонтальных инерционных сил при землетрясении до заданной и контролируемой величины не более силы трения по подошве фундамента.
- 3. Изложен прямой численный метод расчета параметров движения здания, необходимых для проектирования предложенной схемы сейсмоизоляции.
- 4. Приведен пример расчета параметров колебаний здания с использованием программы Excel.

### Литература

- 1. Киселев В.А. Строительная механика. Специальный курс М.: Стройиздат, 1980. 626 с.
- 2. Сейсмостойкое строительство зданий. Под ред. И.Л. Корчинского М.: Высшая школа, 1971.-32 с.
  - 3. Синицын А.П., Пеньковский Г.Ф. Управление напряженным состоянием

ISSN: 2053-3578

I.F. 12.34

балки на упругом основании при вынужденных динамических деформациях основания. // Строительная механика и расчет сооружений. — №1. — 1977. — С. 47—50.

Пеньковский Г.Ф. Дом на качелях// Изобретатель и рационализатор. – № 7. –
1972. – С. 35 (А.с. №326338 от 19.01.1972)

Пеньковский Г.Ф. Сейсмостойкое здание. – Патент на изобретение №2383704 от 10.03.2010